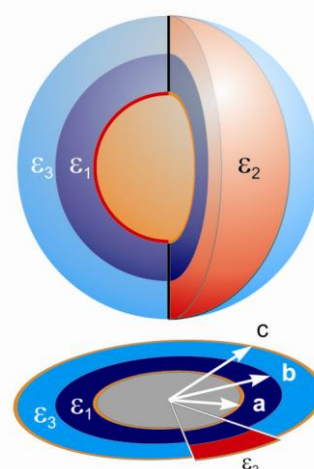


Prova de Eletromagnetismo EE 521 – 21 de maio de 2009. Prof. Cesar Pagan. FEEC – UNICAMP

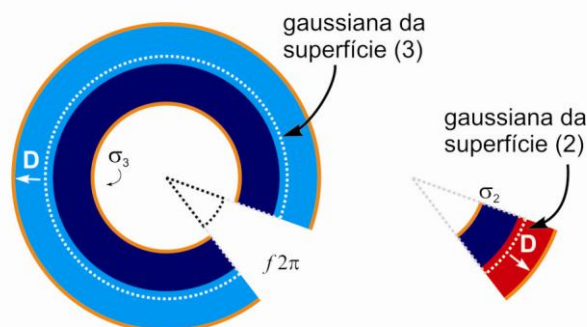
1. **(4,0) Dielétricos e Capacitância.** Duas esferas condutoras concêntricas, com raios a e c , são preenchidas com um material dielétrico dividido em duas camadas. A primeira camada possui permissividade elétrica ϵ_1 e preenche o espaço $a < r < b$ (aqui, $a < b < c$). A segunda, é dividida em duas partes: para $0 < \phi < f2\pi$ (sendo $0 < f < 1$), temos ϵ_2 e para $f2\pi < \phi < 2\pi$, temos ϵ_3 . Considere que as camadas são finas em comparação com o raio interno a .
- (0,8) Calcule a densidade de fluxo elétrico \mathbf{D} para $0 < \phi < f2\pi$ e para $f2\pi < \phi < 2\pi$.
 - (0,8) Calcule a diferença de potencial para $0 < \phi < f2\pi$ e para $f2\pi < \phi < 2\pi$.
 - (0,8) Calcule a densidade superficial de cargas para $0 < \phi < f2\pi$ e para $f2\pi < \phi < 2\pi$.
 - (0,8) Calcule a carga total.
 - (0,8) Calcule a capacitância.

Solução

O esquema do capacitor deste exercício está na figura ao lado. Este capacitor possui diferentes regiões, nas quais o valor para o campo elétrico não é o mesmo em função do raio. Nas interfaces 1-2 e 1-3, que ocorrem ao longo da superfície $r=b$, a componente **radial** do campo elétrico é descontínua, $\epsilon_1 E_{r1} = \epsilon_2 E_{r2}$ e $\epsilon_1 E_{r1} = \epsilon_3 E_{r3}$. Entretanto, na interface entre os meios 2-3 que ocorre nas superfícies com ϕ constante em $\phi=0$ e $\phi=f2\pi$, a componente tangencial do campo elétrico também está na direção **radial**, desta vez é igual nos dois meios. Esta complicação pode ser removida se consideramos que as camadas “finas” quando comparadas com o raio das superfícies. Com esta hipótese podemos supor que, localmente (para um valor fixo de ϕ), o campo mantém-se perpendicular à superfície condutora por toda a extensão entre a esfera interna e a esfera externa. É com este modelo que resolveremos nosso problema.



Supor que o campo é exclusivamente radial, permite tratar o problema em duas regiões: uma para $0 < \phi < f2\pi$ e outra para $f2\pi < \phi < 2\pi$. Em cada uma delas temos uma camada interna com permissividade elétrica igual, ϵ_1 , e outra em que as permissividades elétricas são diferentes, respectivamente ϵ_2 e ϵ_3 . Analisando cada uma em separado, vemos que o campo elétrico é diferente, visto que as permissividades são diferentes. Mas o fato de que as superfícies condutoras em a e em c sejam equipotenciais, impõe que a integral do campo elétrico na direção radial entre estes limites apresente o mesmo resultado nas duas regiões. Isto só é possível se a densidade de cargas superficial – causadora do campo – possuir um valor próprio para cada região. Faremos esta hipótese para resolver este problema, utilizando o índice (2) para identificar a região $0 < \phi < f2\pi$, onde há uma camada com ϵ_2 , e o índice (3) para identificar a região $f2\pi < \phi < 2\pi$, onde há uma camada com ϵ_3 . Calculamos inicialmente o valor de D para cada região, para a qual usamos as superfícies gaussianas como desenhadas ao lado.



Em cada caso, consideramos o vetor \mathbf{D} normal à superfície esférica externa e paralelo às faces laterais, que são radiais. Temos:

$$f4\pi r^2 D_{r,2} = f4\pi a^2 \sigma_2, \text{ logo } D_{r,2} = \sigma_2 \frac{a^2}{r^2}$$

O mesmo cálculo vale para a região (3), porém para a superfície $(1-f)4\pi$:

$$D_{r,3} = \sigma_3 \frac{a^2}{r^2}.$$

O valor do campo elétrico é diretamente obtido de D , pela relação $\mathbf{D} = \epsilon \mathbf{E}$. Na camada interna, os valores de \mathbf{E} são

$$E_{r,2}(a < r < b) = \frac{\sigma_2}{\epsilon_1} \frac{a^2}{r^2} \quad \text{e} \quad E_{r,3}(a < r < b) = \frac{\sigma_3}{\epsilon_1} \frac{a^2}{r^2}.$$

e para a camada externa,

$$E_{r,2}(b < r < c) = \frac{\sigma_2}{\epsilon_2} \frac{a^2}{r^2} \quad \text{e} \quad E_{r,3}(b < r < c) = \frac{\sigma_3}{\epsilon_3} \frac{a^2}{r^2}.$$

Com isto, podemos calcular a diferença de potencial entre os condutores em $r=a$ e $r=c$. Fazendo a placa $r=a$ (interna) positiva, seu potencial será maior do que o da placa negativa. Assim, $V=V(a)-V(c)$ será positivo. Para a região (2),

$$V = -\frac{\sigma_2 a^2}{\epsilon_2} \int_c^b \frac{dr}{r^2} - \frac{\sigma_2 a^2}{\epsilon_1} \int_b^a \frac{dr}{r^2} = \sigma_2 a^2 \left[\frac{1}{\epsilon_1} \left(\frac{1}{a} - \frac{1}{b} \right) + \frac{1}{\epsilon_2} \left(\frac{1}{b} - \frac{1}{c} \right) \right]$$

e para a região (3),

$$V = \sigma_3 a^2 \left[\frac{1}{\epsilon_1} \left(\frac{1}{a} - \frac{1}{b} \right) + \frac{1}{\epsilon_3} \left(\frac{1}{b} - \frac{1}{c} \right) \right].$$

Com estas informações, podemos calcular as densidades de superficiais de carga, σ_2 e σ_3 :

$$\sigma_2 = \frac{1}{a^2} \frac{V}{\left[\frac{1}{\epsilon_1} \left(\frac{1}{a} - \frac{1}{b} \right) + \frac{1}{\epsilon_2} \left(\frac{1}{b} - \frac{1}{c} \right) \right]} \quad \text{e} \quad \sigma_3 = \frac{1}{a^2} \frac{V}{\left[\frac{1}{\epsilon_1} \left(\frac{1}{a} - \frac{1}{b} \right) + \frac{1}{\epsilon_3} \left(\frac{1}{b} - \frac{1}{c} \right) \right]}.$$

Assim, a carga total é a integral da densidade de cargas nas duas regiões:

$$Q = \int_0^{2\pi} \int_0^\pi \sigma_2 a^2 \sin(\theta) d\theta d\phi + \int_{f2\pi}^{(1-f)2\pi} \int_0^\pi \sigma_3 a^2 \sin(\theta) d\theta d\phi = \frac{f4\pi V}{\left[\frac{1}{\epsilon_1} \left(\frac{1}{a} - \frac{1}{b} \right) + \frac{1}{\epsilon_2} \left(\frac{1}{b} - \frac{1}{c} \right) \right]} + \frac{(1-f)4\pi V}{\left[\frac{1}{\epsilon_1} \left(\frac{1}{a} - \frac{1}{b} \right) + \frac{1}{\epsilon_3} \left(\frac{1}{b} - \frac{1}{c} \right) \right]}.$$

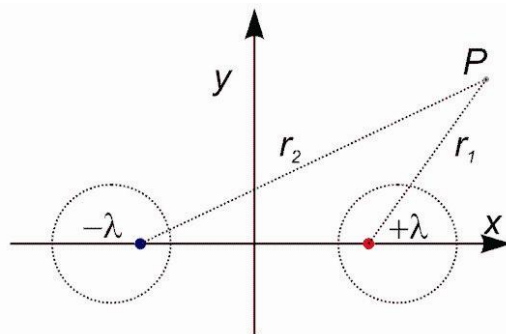
ou

$$Q = 4\pi \left[\frac{f}{\left[\frac{1}{\epsilon_1} \left(\frac{1}{a} - \frac{1}{b} \right) + \frac{1}{\epsilon_2} \left(\frac{1}{b} - \frac{1}{c} \right) \right]} + \frac{1-f}{\left[\frac{1}{\epsilon_1} \left(\frac{1}{a} - \frac{1}{b} \right) + \frac{1}{\epsilon_3} \left(\frac{1}{b} - \frac{1}{c} \right) \right]} \right] V.$$

Comparando esta relação com $Q=CV$, obtemos

$$C = 4\pi \left[\frac{f}{\left[\frac{1}{\epsilon_1} \left(\frac{1}{a} - \frac{1}{b} \right) + \frac{1}{\epsilon_2} \left(\frac{1}{b} - \frac{1}{c} \right) \right]} + \frac{1-f}{\left[\frac{1}{\epsilon_1} \left(\frac{1}{a} - \frac{1}{b} \right) + \frac{1}{\epsilon_3} \left(\frac{1}{b} - \frac{1}{c} \right) \right]} \right].$$

2. **(2,0) Linha de dois fios.** Mostre que para dois fios condutores paralelos infinitos no plano xz , um carregado positivamente em $x=a$ e outro negativamente em $x=-a$, com densidades $+\lambda$ e $-\lambda$ respectivamente, temos superfícies equipotenciais dadas por cilindros. Calcule o raio e o centro de cada cilindro em função do potencial. Considere o zero de potencial no plano $x=0$.



Solução

Considere o potencial devido a um fio infinito com densidade linear de cargas λ

$$V_{\lambda}(r) = \frac{\lambda}{2\pi\epsilon} \ln\left(\frac{r_0}{r}\right).$$

Fazendo r_0 na origem, podemos escrever o potencial devido às duas linhas de carga como

$$V(r) = V_1 + V_2 = \frac{\lambda}{2\pi\epsilon} [\ln\left(\frac{r_0}{r_1}\right) - \ln\left(\frac{r_0}{r_2}\right)] = \frac{\lambda}{2\pi\epsilon} \ln\left(\frac{r_2}{r_1}\right).$$

onde r_1 e r_2 são, respectivamente, a distância das linhas de cargas positiva e negativa até a posição $r=(x,y)$. Não consideramos a coordenada z porque a distância de um ponto às retas não dependem de z . Assim:

$$r_1 = ((x-a)^2 + y^2)^{1/2} \text{ e } r_2 = ((x+a)^2 + y^2)^{1/2}.$$

Substituindo estes valores, obtemos

$$V(r) = \frac{\lambda}{2\pi\epsilon} \ln\left(\frac{(x+a)^2 + y^2}{(x-a)^2 + y^2}\right).$$

Note que ao fazer o argumento do logaritmo constante para variações de x e y , $V(r)$ também será constante. Assim,

$$V(r) = \frac{\lambda}{2\pi\epsilon} \ln(K), \text{ para } K = \frac{(x+a)^2 + y^2}{(x-a)^2 + y^2}.$$

Desenvolvendo a expressão para o parâmetro K ,

$$K(x^2 - 2ax + a^2) + y^2 = (x^2 + 2ax + a^2) + y^2$$

$$x^2 - 2a \frac{(K+1)}{(K-1)} x + a^2 + y^2 = 0$$

Somando e subtraindo $a^2(K+1)^2/(K-1)^2$,

$$x^2 - 2a \frac{(K+1)}{(K-1)} x + a^2 \frac{(K+1)^2}{(K-1)^2} - a^2 \frac{(K+1)^2}{(K-1)^2} + a^2 + y^2 = 0$$

$$(x - a \frac{K+1}{K-1})^2 + y^2 = a^2 \frac{(K+1)^2}{(K-1)^2} - a^2 \frac{(K-1)^2}{(K-1)^2} = a^2 \frac{K^2 + 2K + 1 - K^2 + 2K - 1}{(K-1)^2} = (a \frac{2\sqrt{K}}{K-1})^2$$

que é a equação de uma circunferência de raio $R = 2a\sqrt{K}/|K-1|$ e centro em $a(K+1)/(K-1)$. Assim, mostramos que as superfícies equipotenciais são cilindros com centro x_c em

$$x_c = a \frac{K+1}{K-1} \text{ e raio } R = a \frac{2\sqrt{K}}{|K-1|}.$$

Note que a substituição de K por $1/K$, resulta na manutenção do valor de R e na troca de x_c por $-x_c$.

3. **(2,0) Equação de Laplace.** Seja $V(x,y) = V(x,y) = ae^{\pm\alpha x} + f \pm by^2$, em uma região na qual $\rho=0$. Sabe-se que E_x e V são zero na origem. Encontre o valor de $f(x)$ e $V(x,y)$.

Solução

Considere o laplaciano de $\nabla^2 V=0$,

$$\nabla^2 V = \frac{\partial^2}{\partial x^2} V + \frac{\partial^2}{\partial z^2} V + \frac{\partial^2}{\partial z^2} V = a\alpha^2 e^{\pm\alpha x} + f'' \pm 2b = 0$$

de onde concluímos que

$$f'' = -a\alpha^2 e^{\pm\alpha x} \mp 2b$$

Integrando f'' , obtemos

$$f' = \mp a\alpha e^{\pm\alpha x} \mp 2bx + C_1$$

e

$$f = -ae^{\pm\alpha x} \mp bx^2 + C_1 x + C_2.$$

onde C_1 e C_2 são constantes de integração. Assim,

$$V(x,y) = ae^{\pm\alpha x} + ae^{\pm\alpha x} \mp bx^2 + C_1 x + C_2 \pm by^2 = \pm b(y^2 - x^2) + C_1 x + C_2.$$

Sabemos que $V(0,0)=0$, logo

$$C_2 = 0.$$

Para obter a componente E_x do campo elétrico fazemos

$$E_x = -\frac{\partial}{\partial x} V(x,y) = \mp bx^2 + C_1$$

e como $E_x(0,0)=0$, concluímos que

$$C_1 = 0.$$

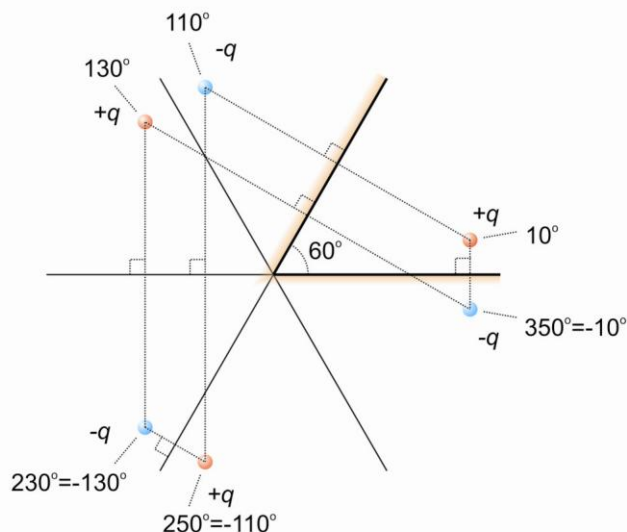
Assim, temos

$$f = -ae^{\pm\alpha x} \mp bx^2 \quad \text{e} \quad V(x,y) = \pm b(y^2 - x^2).$$

4. **(2,0) Método das Imagens.** Considere duas placas condutoras semi-infinitas formando um ângulo $\alpha=45^\circ$ (ou de $\alpha=60^\circ$ dependendo da prova) entre si. Suponha um sistema de coordenadas cilíndricas em que a junção dos semi-planos coincida com o eixo z, sendo que uma das placas está na direção $\phi=0$ e a outra está na direção $\phi=\alpha$. Uma carga $+q$ é colocada na posição $\rho_0=1$, $\phi_0=10^\circ$. Indique a posição (em coordenadas cilíndricas) e o valor de todas as cargas imagem necessárias para manter os condutores em potencial nulo.

Solução para $\alpha=60^\circ$:

O conjunto de cargas imagem para dois semi-planos inclinados em 60° é mostrado ao lado. Para a carga real colocada em $\rho_0=1$, $\phi_0=10^\circ$, temos cinco cargas imagem, todas em $\rho_0=1$. A solução deste problema é realizada através da colocação de cargas imagem em posições que tornam nulos os potenciais dos planos condutores, não apenas na região em que eles efetivamente existem, mas em todo o espaço, supondo estes planos infinitos. As cargas nos ângulos -10° e 110° são imagens diretas da carga real. São as primeiras a serem colocadas e posicionam-se sobre segmentos de reta que as ligam à carga real, formando um ângulo reto com os planos dos condutores. A existência destas cargas exige a colocação de outras cargas imagem: uma em 130° para balancear a carga colocada na em -10° e outra em -110° para compensar a carga colocada em $+110^\circ$. Finalmente, as cargas-imagem colocadas em 130° e -110° necessitam de outra carga imagem colocada em 230° . Este conjunto fará com que o potencial nos semi-planos seja zero, uma vez que todas estão colocadas simetricamente em relação aos seus pares com cargas opostas, o que torna nulo o potencial nos planos de simetria.



Solução para $\alpha=45^\circ$:

Neste caso, temos sete cargas imagens. As cargas imediatamente próximas aos semi-planos reais foram colocadas em 80° e -10° . Para balancear a primeira, outra carga é colocada em -80° , enquanto o balanceamento da segunda necessita de uma nova carga em 100° . Para compensar estas cargas e manter a simetria, colocamos novas cargas em 170° e -100° respectivamente. Finalmente, uma carga em -170° é necessária para balancear as duas últimas.

